

Acerca de la estereoquímica del fullereno gigante I_h-C₅₀₀: Un modelo tridimensional y cálculo de las líneas de su espectro de RMN¹³C

Aarón Pérez-Benítez* y Fernando Santiesteban Llaguno

Abstract

NMR¹³C spectra of the icosahedral fullerenes of formulae C_{20n²} (where n = natural number) can be determined in a very easy way by the analysis of one of their triangular sections. The chemical equivalence of the Carbon atoms in those sections can be established by symmetry and/or by the connectivity between the vertices.

The procedure for the calculation of the number of lines in the spectra is exemplified for the I_h-C₅₀₀ fullerene (n = 5). Moreover, in order to illustrate the stereochemistry of this fullerene, a template for the construction of a 3D model is provided.

Key words. Icosahedral fullerenes, three-dimensional model, C₅₀₀-fullerene, NMR¹³C spectrum calculation.

Resumen

Los espectros de RMN¹³C de los fullerenos icosaédricos de fórmula general C_{20n²} se pueden predecir de manera simple y rápida mediante la inspección de una de sus secciones triangulares, ya sea determinando la equivalencia entre sus átomos mediante operaciones de simetría y/o por la conectividad entre los mismos. En este artículo se presenta como ejemplo, la forma de calcular el número de líneas y su relación de intensidades en el espectro de RMN¹³C del I_h-C₅₀₀. Asimismo, se proporciona una plantilla para la construcción de un modelo tridimensional mediante el cual se puede observar objetivamente la estereoquímica de este fullereno gigante.

Geometría del fullereno gigante I_h-C₅₀₀.

El fullereno gigante I_h-C₅₀₀ (figura 1) es el quinto miembro de la familia de los fullerenos icosaédricos

de fórmula general C_{20n²},¹ los cuales existen potencialmente en forma de estructuras concéntricas como las capas de una cebolla.² Sus propiedades geométricas se pueden determinar de manera sencilla y rápida inscribiéndolo en un icosaedro y tomando una de sus caras triangulares.³ En la figura 1a se han resaltado tres de los pentágonos más cercanos para identificar una de las secciones triangulares del C₅₀₀, que en el poliedro inscrito tendría el aspecto mostrado en la figura 2a.

Recuérdese que un icosaedro está formado por 12 vértices, 20 caras triangulares y 30 aristas, y correlacionese esta información con la de la figura 2a para determinar que en el I_h-C₅₀₀:

- a) el número de caras pentagonales es igual a 12 (una por cada vértice del icosaedro);
- b) el número de caras hexagonales es igual a 240 (6 por cada cara y 4 por cada arista del icosaedro);
- c) el número de aristas 5:6 es igual a 60 (5 por cada vértice del icosaedro);
- d) el número de aristas 6:6 es igual a 690 (3 por cada arista + 20 por cada cara del icosaedro);
- e) el número de vértices es igual a 500 (25 en cada sección triangular).⁴

¹ Anteriormente presentamos un modelo del miembro más pequeño de esta serie, el fullereno I_h-C₂₀ (Pérez-Benítez, 1997).

² Existen dos series de fullerenos icosaédricos C_{20n²} y C_{60n²} (n=1, 2, 3,...). Excepto el I_h-C₆₀, hasta ahora los fullerenos icosaédricos no se han encontrado individualmente, sino en forma de estructuras concéntricas como las capas de una cebolla.

³ En la literatura se han presentado cálculos de orbitales moleculares de los fullerenos icosaédricos analizando su geometría con la mitad de una sección triangular (Tang, 1995). Para nuestros fines consideramos más claro y práctico el uso de la sección triangular completa.

⁴ Para efectos de contabilización, obsérvese que en las aristas de la sección triangular no hay vértices. Ésta es una de las diferencias entre los fullerenos icosaédricos de la familia C_{60n²} y C_{20n²}.

* Centro de Investigación de la Facultad de Ciencias Químicas. Benemérita Universidad Autónoma de Puebla. Av. 14 Sur y Av. San Claudio. Col. San Manuel. C. P. 72570. Puebla, Pue. E-mail: aaronperez@xoommail.com

Recibido: 19 de marzo 1999; Aceptado: 20 de junio 1999.

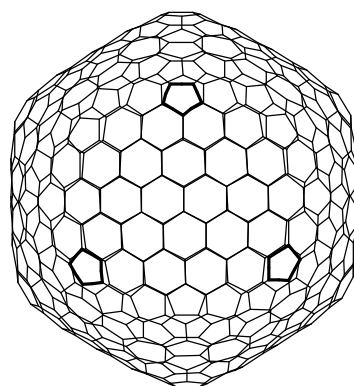
Pero, ¿cuántos tipos de vértices distintos tiene el C_{500} ? Debido a que las operaciones de simetría del icosaedro intercambian las secciones triangulares, el problema se puede replantear de forma más sencilla: ¿Cuántos tipos de vértices distintos hay por sección triangular?

Para responder a esta pregunta debemos establecer la equivalencia entre los vértices de esta sección triangular (figura 2a) ya sea por conectividad y/o por simetría de la siguiente manera:

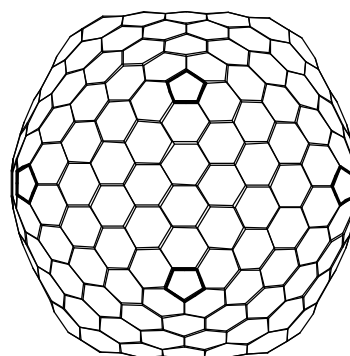
- los vértices “a” son vértices de caras pentagonales, por tanto son distintos de los restantes que son de caras hexagonales;
- a cada vértice “a” se encuentran conectados otros dos vértices “a” de secciones vecinas y un vértice “b”;
- a dos y tres enlaces de distancia de “a” se encuentran los vértices “c” y “d”, respectivamente;
- el vértice “g” se encuentra en el centro del triángulo;
- conectados a “d” se encuentran “e” y “f”, los cuales se distinguen claramente porque los “e” se encuentran próximos a la parte media de la arista de la sección triangular, en tanto que los “f” están en la parte media y conectados al vértice central “g”. En la tabla 1 se resume la conectividad entre los vértices.

Para determinar la equivalencia entre los vértices de la sección triangular por simetría, se requiere utilizar solamente un eje propio de rotación triple, C_3 , y/o los tres planos de reflexión, σ , (figura 2b) los cuales son elementos de simetría tanto de un simple triángulo como del icosaedro y del C_{500} mismo. En la figura 2a se puede distinguir claramente que los vértices “a”, “b”, “f”, “g” y “e” están contenidos en los planos de simetría y que fuera de dichos planos, por pares y equidistantes (obviamente), se encuentran los vértices “c” y “d”. Ésta es una magnífica ocasión para ilustrar el efecto que provoca la aplicación de un plano de simetría: iobsérvese que en la parte próxima a las aristas, la secuencia a-b-c-d-e-d-c-b-a es un ordenamiento capicúa! (Gutiérrez, 1991).

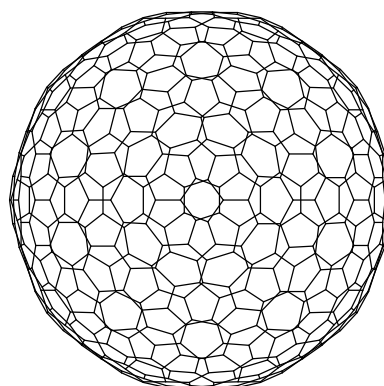
Se puede verificar que la asignación de los vértices es la correcta aplicando el otro elemento de simetría que hemos mencionado, el C_3 . El vértice “g” se encuentra en el centro del triángulo y permanece invariante bajo las operaciones σ y C_3 que se han mencionado; en cambio se permutan los vértices “f” y las cadenas a-b-c-d-e-d-c-b-a mediante giros



C_3 (S_6 , 3σ)



C_2 (2σ)



C_5 (S_{10} , 5σ)

Figura 1. Vistas del fullereno icosaédrico gigante $I_{h}C_{500}$:
a) Vista a lo largo de uno de sus ejes C_3 (y S_6);
b) Vista a lo largo de uno de sus ejes C_2 ;
c) Vista a lo largo de uno de sus ejes C_5 (y S_{10}).

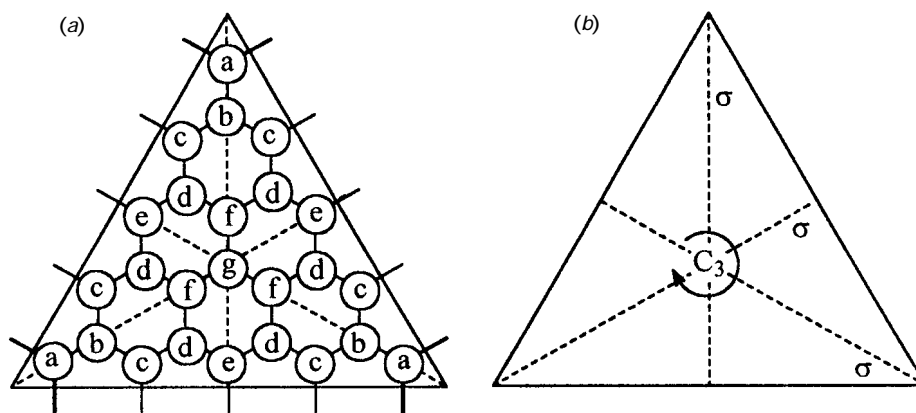


Figura 2. a) Sección triangular del I_h-C_{500} mostrando los siete tipos de carbonos distintos que contiene; b) elementos de simetría que pasan por esa sección.

de 60° . Por tanto, podemos concluir que hay siete tipos de vértices distintos en relación 1:3:3:3:3:6:6 (3a:3b:6c:6d:3e:3f:1g). Dado que los vértices de ese poliedro simbolizan átomos de Carbono, entonces **el espectro de RMN¹³C del fullereno I_h-C_{500} consistirá de siete líneas con relación de intensidades 1:3:3:3:3:6:6.**

Resumiendo, el fullereno I_h-C_{500} está constituido por:

- 500 vértices que se dividen en siete tipos: un tipo de vértices pertenece a caras pentagonales (60 a) y los seis restantes son de caras hexagonales en relación 60b:120c:120d:60e:60f:20g;
- 252 caras: 240 hexagonales, $(240)^6$, y 12 caras pentagonales, $(5)^{12}$;
- 750 aristas: 60 aristas pentágono-hexágono, $(5:6)^{60}$, y 690 aristas hexágono-hexágono, $(6:6)^{690}$.

Tabla 1. Conectividad entre los vértices del fullereno I_h-C_{500} .

Tipo de vértice	Vértices a los que está conectado		
a	a*	a*	b
b	a	c	c
c	b	c*	d
d	c	e	f
e	d	d	e*
f	d	d	g
g	f	f	f

* Indica la conectividad con un átomo del mismo tipo pero en una sección vecina.

Construcción de un modelo tridimensional del fullereno I_h-C_{500} .

1. Haga una fotocopia ampliada (tamaño doble carta) de la plantilla de la figura 3 y recórtela.
 2. Elimine cuidadosamente las puntas de los triángulos siguiendo las líneas más gruesas. En caso de que prefiera presentar el fullereno inscrito en el icosaedro omita este paso.
 3. Finalmente doble y pegue las pestañas.
- El modelo terminado correspondiente a los pasos 1-3 se presenta en la figura 4.

Ejercicios para casa

1. Efectúe el análisis correspondiente y prediga el espectro de RMN¹³C del fullereno I_h-C_{320} .
2. ¿Cuántos elementos de simetría puede distinguir en la figura 5?
3. ¿Podría predecir y esquematizar la sección triangular del tercer fullereno de la serie $I_h-C_{20n^2}$, ($n = 3, I_h-C_{180}$)?
4. Excepto para $n = 1$, el número de caras hexagonales de los fullerenos de la serie C_{20n^2} también puede calcularse mediante la expresión

$$C_{20n^2} = 30 + 10 \sum_{n=1}^{n-1} (2n + 3)$$

(donde $n =$ número de serie del fullereno). ¿Se cumple esta expresión para los fullerenos C_{320} y C_{500} que se presentan en las figuras 2a y 5?

Agradecimientos

Agradecemos al doctor José Antonio Guevara García por su apoyo en la preparación del material fotográfico que aparece en el presente artículo. ▀

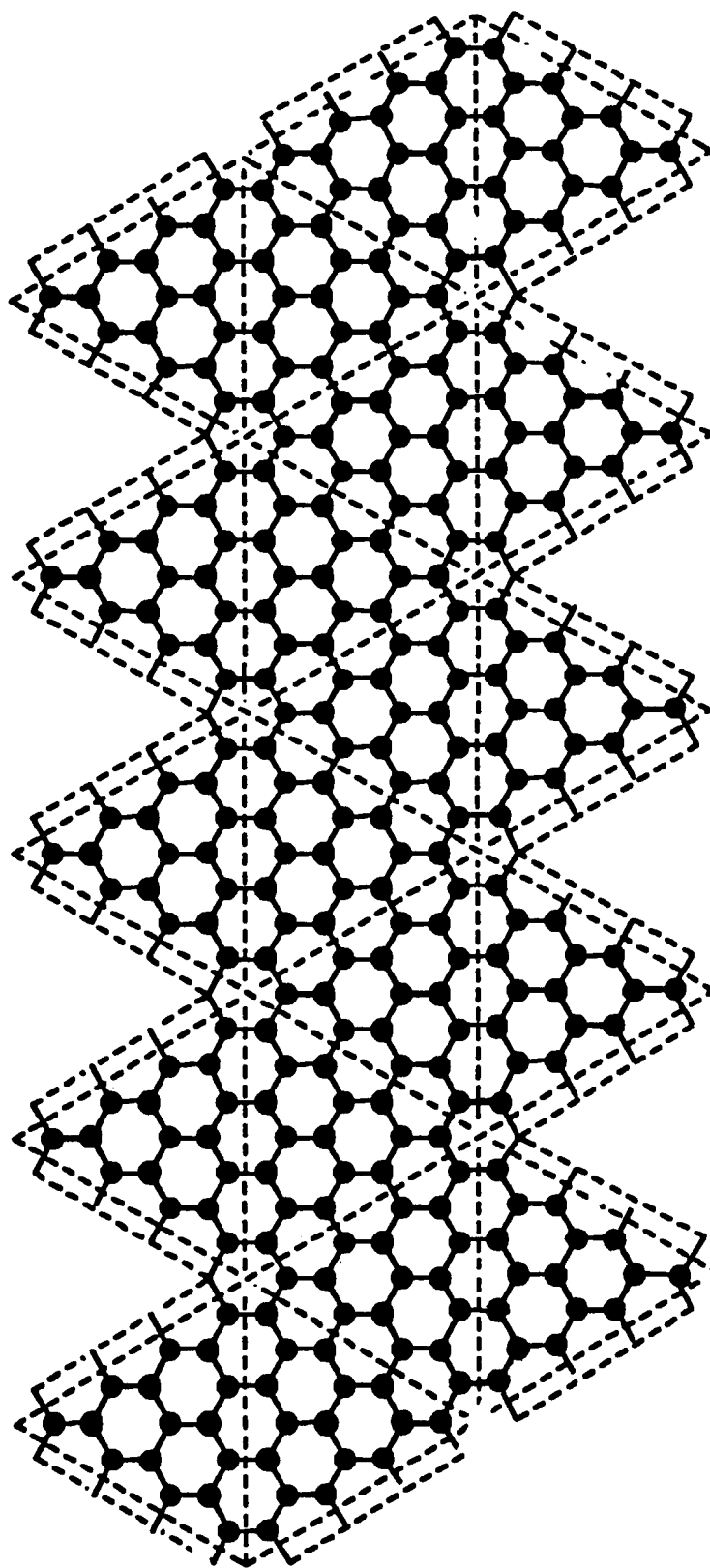


Figura 3. Plantilla para la construcción de un modelo tridimensional del Iir-C500.

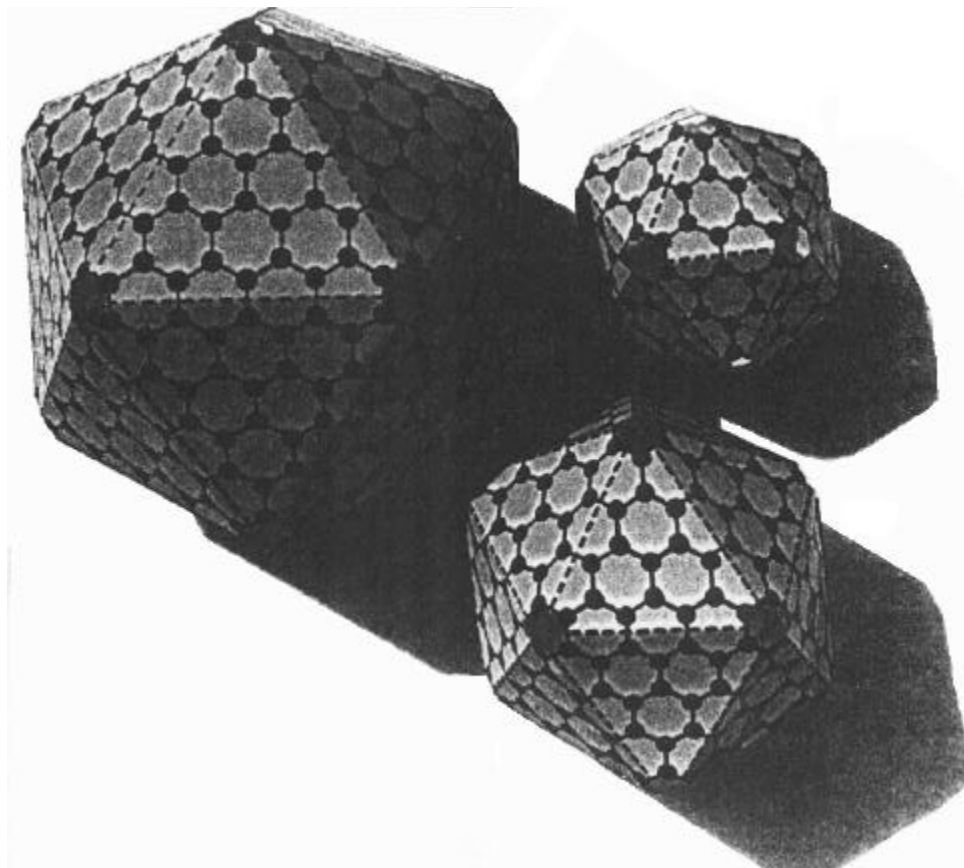


Figura 4. Modelo tridimensional del $I_{h}\text{-C}_{50}$ (a la izquierda) y de otros dos fullerenos de la misma serie (a la derecha). Consulte la sección de problemas para la identificación de éstos.

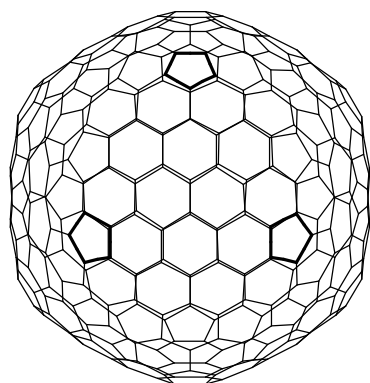


Figura 5. Estructura del fullereno $I_{h}\text{-C}_{320}$.

Literatura citada

- Gutiérrez, R.; Pérez-Benítez, A. “1991 y la simetría bilateral”. *Educ. quím.*, **1991**, 2, 126. En este artículo se citan algunos palíndromos ingeniosos y divertidos.
- Pérez-Benítez, A.; Guevara-García, J. A. “Un modelo tridimensional para la enseñanza de la simetría del fullereno $I_{h}\text{-C}_{20}$ ”. *Educ. quím.*, **1997**, 2, 94.
- Tang, A. C.; Huang, F. Q. *Chem. Phys. Lett.* **1995**, **245**, 561.